

---

# 情報通信研究室:活動報告

研究室代表者・准教授 松井 一

3rd スマート情報技術研究センター シンポジウム  
19th ジョイントCSセミナー

2023年10月12日(木)16:25-16:35

## ○目標

- 高性能な誤り訂正符号の構成
  - DNA記録や量子コンピューターなどへの応用

# 誤り訂正符号, 符号理論

誤り訂正符号・・・デジタルデータに冗長部を定めノイズ耐性を付ける  
符号理論・・・誤り訂正符号とその応用のための理論

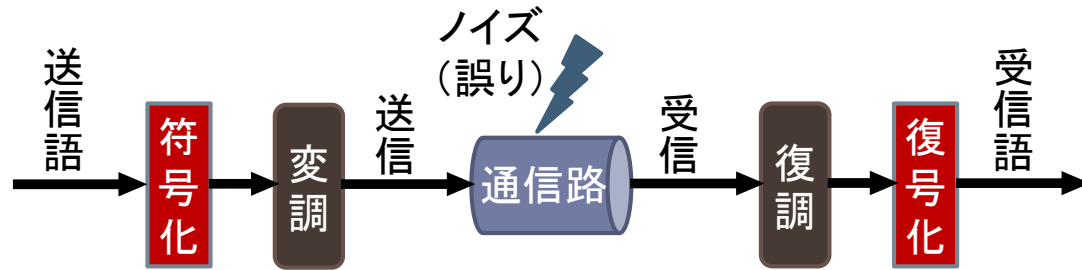


図. 通信のモデル. 誤り訂正符号は符号化と復号化からなる

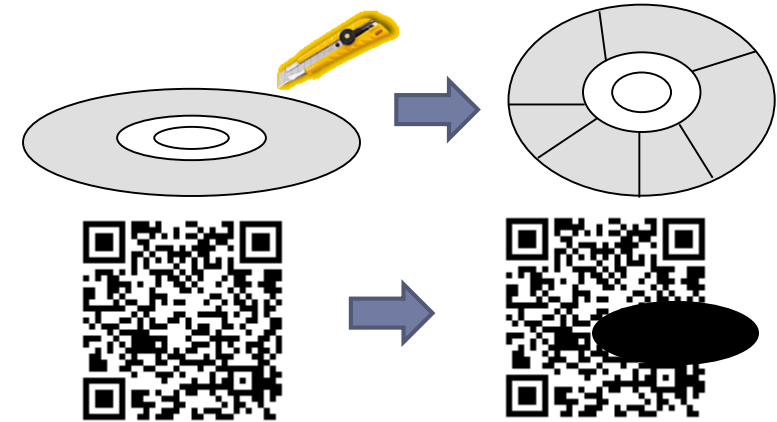


図. キズや汚れをつける実験

- 誤り訂正符号 (or 符号) とは, ある長さのビット列のなす集合 (線形代数の言葉では, 2元ガロア有限体  $F_2 = \{0, 1\}$  上の線形空間)
- 研究室代表者の符号理論研究

代数幾何符号

準巡回符号

自己双対・反転不変符号

1999

2009

2019

# 符号理論の歴史と現状

年代	トピック	備考
?	遺伝子符号	すべての生物の遺伝子に備わっている
1948	C. E. Shannon “A Mathematical Theory of Communication”	情報理論の創始, シャノン限界(誤り訂正符号の理論限界)
1950	Hamming符号	自明でない人類初の誤り訂正符号
1960	Reed-Solomon (RS) 符号	CD, DVD, QRコード等広く応用される
1963	LDPC符号 (R. G. Gallager)	2006年にシャノン限界に迫ることが判明
1993	Turbo符号 (C. Berrou)	シャノン限界に迫る
1995	Shor符号 (A.R. Calderbank, P. Shor), Steane符号 (A. Steane)	初の量子誤り訂正符号
2006	Polar符号 (E. Arıkan)	5Gに採用される

DNA記録・DNAストレージ…DNAに数ギガ～数テラ～数ペタの情報を記録  
反転不変符号…DNA符号が満たすべき条件のひとつ, Reversibility(反転不変性)に注目

# 報告内容

---

- 誤り訂正符号における構成・探索
- 反転不変符号・DNA符号
- 量子誤り訂正符号

# 中国剰余定理による準巡回符号の構成

H. Matsui, "A modulus factorization algorithm for self-orthogonal and self-dual quasi-cyclic codes via polynomial matrices," IEICE Transactions on Fundamentals of Electronics, Communications and Computer Sciences, vol.E104-A, no.11, pp.1649-1653, Nov. 1, 2021.

素因子分解を用いた探索 (有限体  $F_2(-1 = 1)$  による分解)

$1+x^5$  は  $1+x^5 = (1+x)(1+x+x^2+x^3+x^4)$  に分解できる.

$$AG = \begin{bmatrix} 1+x^5 & & 0 \\ & \ddots & \\ 0 & & 1+x^5 \end{bmatrix} \quad A_1G_1 = \begin{bmatrix} 1+x & & 0 \\ & \ddots & \\ 0 & & 1+x \end{bmatrix} \quad A_2G_2 = \begin{bmatrix} 1+x+x^2+x^3+x^4 & & 0 \\ & \ddots & \\ 0 & & 1+x+x^2+x^3+x^4 \end{bmatrix}$$

$A, G: n_1 \cdot n_2$  個

$A_1, G_1: n_1$  個

$A_2, G_2: n_2$  個

$G_1, G_2$  から中国剰余定理を用いて  $G$  を合成

中国剰余定理: 互いに素な  $a, b$  について,  $g \equiv x \pmod{a}$ ,  $g \equiv y \pmod{b}$  ならば,  $g \equiv uay + vb x \pmod{ab}$  である (ただし  $ua + vb = 1$ ).

Algorithm 1 (cf. Proof of Proposition 1)

input  $G_1 \in \{G_1\}_{d_1}, G_2 \in \{G_2\}_{d_2}$  with  $\gcd(d_1, d_2) = 1$

output  $\begin{cases} G \in \{G\}_{d_1 d_2} \text{ with } \mathbb{L}G = \mathbb{L}G_1 \cap \mathbb{L}G_2 \\ B_1, B_2 \in M_l(\mathbb{Z}) \text{ with } G = B_1 G_1 = B_2 G_2 \end{cases}$

for  $j = 1$  to  $l$  do

$g_{j,j} = g_{j,j}^{(1)} g_{j,j}^{(2)}, b_{j,j}^{(1)} = g_{j,j}^{(2)}, b_{j,j}^{(2)} = g_{j,j}^{(1)}$

for  $i = j - 1$  to  $1$  do

$(g_{i,j}, b_{i,j}^{(1)}, b_{i,j}^{(2)})$  given by (1) and (2)

end for

end for

$$g_{i,j} = \sum_{k=i}^j b_{i,k}^{(1)} g_{k,j}^{(1)} = \sum_{k=i}^j b_{i,k}^{(2)} g_{k,j}^{(2)}. \quad (1)$$

$$g_{i,j} \equiv u g_{j,j}^{(1)} \sum_{k=i}^{j-1} b_{i,k}^{(2)} g_{k,j}^{(2)} + v g_{j,j}^{(2)} \sum_{k=i}^{j-1} b_{i,k}^{(1)} g_{k,j}^{(1)} \pmod{g_{j,j}}. \quad (2)$$

- 多項式行列を用いた準巡回符号の構成の基礎理論を与えた
- 自己直交符号および自己双対符号に対しローカル→グローバルに構成
- 従来手法および提案手法の計算量評価を行い有効性を示した

# 反転不変と自己双対との関係

R. Taki ElDin, H. Matsui, "Linking reversed and dual codes of quasi-cyclic codes," IEICE Transactions on Fundamentals of Electronics, Communications and Computer Sciences, vol.E105-A, no.3, pp.381-388, Mar. 1, 2022.

$$F = \left( \text{diag}[x^{m+d_i}]G \begin{pmatrix} 1 \\ x \end{pmatrix} + (1-x^m)\text{diag}[g_{i,i}^*] \right) J \quad (7)$$

$$J = \begin{pmatrix} 0 & \cdots & 0 & 1 \\ \vdots & \ddots & 1 & 0 \\ 0 & \ddots & \ddots & \vdots \\ 1 & 0 & \cdots & 0 \end{pmatrix}$$

**Theorem 1.** The polynomial matrix  $F$  given by (7) is a generator polynomial matrix of the reversed code  $\mathcal{R}$  of  $\mathcal{C}$ .

Table 1 Optimal binary reversible self-orthogonal QC codes.

$\ell$	$n$	$k$	$d_{\min}$	$G = (g_{i,j})$
2	64	32	12	$g_{1,1} = \langle 0 \rangle, \quad g_{1,2} = \langle 2, 5, 6, 7, 8, 9, 10, 11, 12, 15, 16, 18, 19, 20, 22, 24, 25, 28, 29, 30, 31 \rangle, \quad g_{2,2} = \langle 0, 32 \rangle$
3	36	6	16	$g_{1,1} = \langle 0, 1, 2, 4, 5, 6 \rangle, \quad g_{1,2} = \langle 1, 5, 7, 11 \rangle, \quad g_{1,3} = \langle 0, 6, 7, 8, 10, 11 \rangle, \quad g_{2,2} = g_{3,3} = \langle 0, 12 \rangle$
4	68	34	12	$g_{1,1} = g_{1,2} = \langle 0 \rangle, \quad g_{1,3} = \langle 0, 3, 4, 7, 10, 11, 14 \rangle, \quad g_{1,4} = \langle 1, 2, 6, 7, 10, 12, 14 \rangle, \\ g_{2,2} = \langle 0, 1 \rangle, \quad g_{2,3} = \langle 1, 4, 5, 9, 10, 15 \rangle, \quad g_{2,4} = \langle 0, 3, 4, 7, 8, 9, 12, 14 \rangle, \\ g_{3,3} = g_{3,4} = \langle 0, 1, 2, 3, 4, 5, 6, 7, 8, 9, 10, 11, 12, 13, 14, 15, 16 \rangle, \quad g_{4,4} = \langle 0, 17 \rangle$
5	25	8	8	$g_{1,1} = g_{2,2} = \langle 0, 1 \rangle, \quad g_{1,4} = g_{2,5} = \langle 1, 4 \rangle, \quad g_{1,5} = g_{2,4} = \langle 1, 2, 3, 4 \rangle, \quad g_{3,3} = g_{4,4} = g_{5,5} = \langle 0, 5 \rangle$
6	36	18	8	$g_{1,1} = g_{1,3} = g_{2,2} = g_{2,5} = \langle 0 \rangle, \quad g_{1,4} = \langle 2, 4 \rangle, \quad g_{1,5} = g_{4,4} = g_{4,6} = \langle 0, 1, 2, 3, 4, 5 \rangle, \quad g_{1,6} = \langle 0, 1, 3, 5 \rangle, \\ g_{2,4} = \langle 3 \rangle, \quad g_{2,6} = \langle 0, 1, 2, 4, 5 \rangle, \\ g_{3,3} = \langle 0, 1 \rangle, \quad g_{3,4} = \langle 0, 3, 4 \rangle, \quad g_{3,5} = \langle 3, 4 \rangle, \quad g_{3,6} = \langle 0, 2, 5 \rangle, \quad g_{5,5} = g_{6,6} = \langle 0, 6 \rangle$
7	42	14	12	$g_{1,1} = \langle 0 \rangle, \quad g_{1,3} = \langle 0, 1, 2, 3 \rangle, \quad g_{1,4} = \langle 0, 3 \rangle, \quad g_{1,5} = \langle 5 \rangle, \quad g_{1,6} = \langle 2, 3, 4, 5 \rangle, \\ g_{2,2} = \langle 0, 1 \rangle, \quad g_{2,3} = \langle 2 \rangle, \quad g_{2,4} = \langle 1, 4 \rangle, \quad g_{2,5} = \langle 0, 1, 4, 5 \rangle, \\ g_{2,6} = g_{3,6} = g_{4,4} = g_{4,6} = \langle 0, 1, 2, 3, 4, 5 \rangle, \quad g_{2,7} = \langle 1 \rangle, \\ g_{3,3} = \langle 0, 2, 4 \rangle, \quad g_{3,7} = \langle 1, 3, 5 \rangle, \quad g_{5,5} = g_{6,6} = g_{7,7} = \langle 0, 6 \rangle$
8	40	20	8	$g_{1,1} = g_{2,2} = g_{3,3} = g_{4,4} = \langle 0 \rangle, \quad g_{1,5} = g_{4,8} = \langle 0, 2, 4 \rangle, \quad g_{1,6} = g_{2,5} = g_{3,8} = g_{4,7} = \langle 0, 1, 4 \rangle, \\ g_{1,7} = g_{2,8} = \langle 0, 2 \rangle, \quad g_{1,8} = \langle 1, 2, 4 \rangle, \quad g_{2,6} = g_{3,7} = \langle 3 \rangle, \quad g_{2,7} = \langle 2 \rangle, \\ g_{3,5} = g_{4,6} = \langle 1 \rangle, \quad g_{3,6} = \langle 1, 4 \rangle, \quad g_{4,5} = \langle 1, 2, 3, 4 \rangle, \quad g_{5,5} = g_{6,6} = g_{7,7} = g_{8,8} = \langle 0, 5 \rangle$
9	54	24	12	$g_{1,1} = g_{1,2} = g_{3,3} = g_{3,4} = \langle 0 \rangle, \quad g_{1,6} = \langle 1 \rangle, \quad g_{1,7} = \langle 1, 3, 5 \rangle, \quad g_{1,8} = \langle 0, 2 \rangle, \\ g_{1,9} = g_{2,5} = g_{3,5} = g_{4,5} = \langle 1, 2, 4, 5 \rangle, \quad g_{2,2} = g_{4,4} = \langle 0, 1 \rangle, \quad g_{2,6} = g_{4,8} = \langle 0, 1, 4 \rangle, \\ g_{2,7} = \langle 0, 1, 2, 3, 4 \rangle, \quad g_{2,8} = \langle 1, 4 \rangle, \quad g_{2,9} = \langle 0, 2, 3, 4 \rangle, \quad g_{3,6} = \langle 3, 4 \rangle, \quad g_{3,7} = \langle 0, 1, 3, 5 \rangle, \\ g_{3,8} = \langle 2 \rangle, \quad g_{3,9} = \langle 2, 3, 5 \rangle, \quad g_{4,6} = \langle 0, 1, 2, 3 \rangle, \quad g_{4,7} = \langle 0, 1, 2, 5 \rangle, \quad g_{4,9} = \langle 0, 2, 4 \rangle, \\ g_{5,5} = g_{7,7} = g_{9,9} = \langle 0, 6 \rangle, \quad g_{6,6} = g_{6,7} = g_{8,8} = g_{8,9} = \langle 0, 1, 2, 3, 4, 5 \rangle$
10	40	20	8	$g_{1,1} = g_{2,2} = g_{3,3} = g_{4,4} = g_{5,5} = g_{3,6} = g_{5,8} = \langle 0 \rangle, \quad g_{1,6} = g_{3,8} = g_{5,10} = \langle 0, 1 \rangle, \\ g_{1,7} = g_{1,9} = g_{2,10} = g_{4,10} = g_{5,6} = \langle 2, 3 \rangle, \quad g_{1,8} = g_{2,7} = g_{3,10} = g_{4,9} = \langle 1, 2 \rangle, \\ g_{1,10} = g_{4,6} = g_{5,7} = \langle 3 \rangle, \quad g_{2,6} = g_{5,9} = \langle 0, 1, 2 \rangle, \quad g_{2,8} = g_{3,9} = \langle 1 \rangle, \quad g_{2,9} = g_{4,7} = \langle 2 \rangle, \\ g_{3,7} = g_{4,8} = \langle 0, 2, 3 \rangle, \quad g_{6,6} = g_{7,7} = g_{8,8} = g_{9,9} = g_{10,10} = \langle 0, 4 \rangle$

- 反転不変性と自己双対性とのある種の関係を示す
- Best possibleな反転不変かつ自己直交な準巡回符号を計算機により多数発見
- 電子情報通信学会論文賞(2022年6月9日受賞)

# 正方・6角格子上的自己双対符号の構成

H. Matsui, "An algorithm for finding self-orthogonal and self-dual codes over Gaussian and Eisenstein integer residue rings via Chinese remainder theorem," IEEE Access, vol. 11, pp.23260-23267, Mar. 6, 2023.

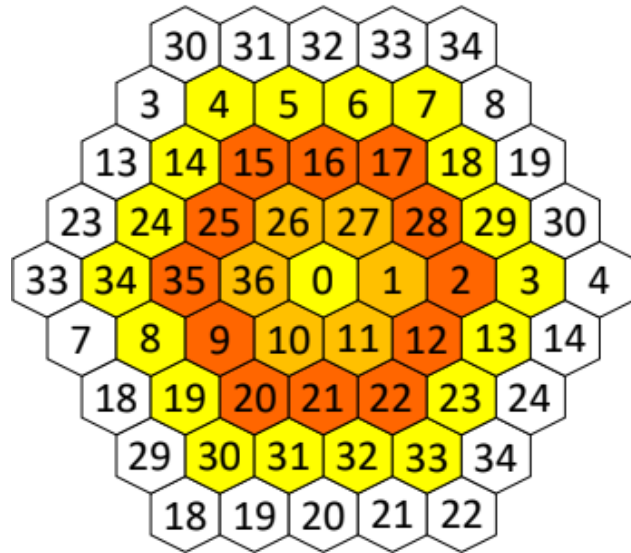


図. 6角格子上的の一距離

*Example 9:* All self-dual  $R$ -modules  $\mathbb{L}G/6\mathbb{L}$  are derived from self-dual  $R$ -modules  $\mathbb{L}G_1/2\mathbb{L}$  and  $\mathbb{L}G_2/3\mathbb{L}$  by  $\mathbb{L}G = \mathbb{L}G_1 \cap \mathbb{L}G_2$ . We compute  $G$  with  $G_1 = \begin{pmatrix} 1 & 1 + \omega \\ 0 & 2\omega \end{pmatrix}$  and  $G_2 = \begin{pmatrix} -2 - \omega & 0 \\ 0 & -2 - \omega \end{pmatrix}$ . If  $\mathbb{L}G = \mathbb{L}G_1 \cap \mathbb{L}G_2$ , then

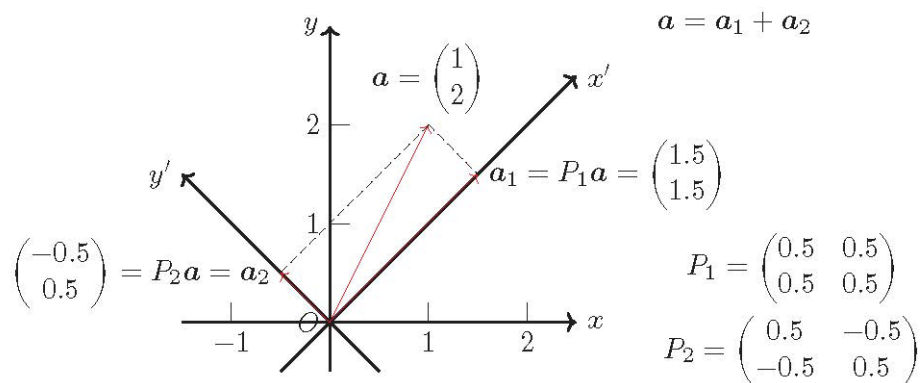
$$G = G_1 G_2 = \begin{pmatrix} -2 - \omega & -1 - 2\omega \\ 0 & 2 - 2\omega \end{pmatrix},$$

$$AG = \begin{pmatrix} -2 + 2\omega & -1 - 2\omega \\ 0 & 2 + \omega \end{pmatrix} \begin{pmatrix} -2 - \omega & -1 - 2\omega \\ 0 & 2 - 2\omega \end{pmatrix} = 6I.$$

- (背景) 正方・6角格子上的の一距離誤り訂正符号において近年進展あり
- 中国剰余定理を利用した自己双対符号のlocal→globalな構成が可能
- この種の符号を量子誤り訂正に応用したという報告あり

# 量子誤り訂正符号の構成

兼子駿, 松井一, “準巡回性をもつLCD符号を用いたEAQECCの構成,” 第46回情報理論とその応用シンポジウム, 11月28日-12月1日, 2023.(発表予定)



射影行列  $P$  について, 以下の3つを満たす.

- 1  $P_i P_i = P_i$  ( $i = 1, \dots, m$ )
- 2  $P_i P_j = O$  ( $i \neq j$ )
- 3  $P_1 + \dots + P_l = I$

図: ベクトルの射影分解 (ベキ等元と類似)

表 1:  $m = 3, 5, 7, 9$  における QC-LCD 符号から作られる EAQECC の最小重み

$m$	$l$	$k$	1	2	3	4	5	6	7	8	9	10	11	12	13	14	15	16	17	18	19	20	21	22	23	24	25	26	27	
3	2		3	3	2	<u>2</u>	<u>1</u>	<u>1</u>																						
	3		<u>9</u>	<u>6</u>	3	4	3	2	<u>2</u>	<u>2</u>	<u>1</u>																			
	4		9	6	6	4	4	4	3	2	2	<u>2</u>	<u>1</u>	<u>1</u>																
5	2		5	5	-	4	3	3	-	<u>2</u>	<u>1</u>	<u>1</u>																		
	3		<u>15</u>	<u>10</u>	5	6	5	<u>6</u>	4	4	4	<u>3</u>	2	<u>2</u>	<u>2</u>	<u>2</u>	<u>1</u>													
	4		15	<u>10</u>	5	<u>10</u>	<u>9</u>	8	5	6	6	6	<u>5</u>	4	4	4	3	<u>2</u>	<u>2</u>	<u>2</u>	<u>1</u>	<u>1</u>								
7	2		7	7	-	-	-	4	<u>4</u>	3	-	-	-	<u>2</u>	<u>1</u>	<u>1</u>														
	3		<u>21</u>	14	7	-	-	8	7	7	6	-	-	4	4	4	3	-	-	<u>2</u>	<u>2</u>	<u>2</u>	<u>1</u>							
9	2		9	9	6	6	3	6	6	<u>6</u>	<u>6</u>	5	4	3	3	2	2	<u>2</u>	<u>2</u>	<u>1</u>	<u>1</u>									
	3		<u>27</u>	18	9	<u>12</u>	9	<u>12</u>	<u>10</u>	<u>10</u>	<u>9</u>	<u>9</u>	8	6	6	<u>6</u>	<u>6</u>	<u>6</u>	<u>5</u>	4	4	4	3	2	2	<u>2</u>	<u>2</u>	<u>2</u>	<u>1</u>	

※下線は既存の最小重みと一致, 上線は既存の最小重みを改良.

- LCD (linear complementary dual) 符号によるエンタングルメント支援量子誤り訂正符号 (EAQECC) の構成を行った
- ベキ等元を用いて, 中国剰余定理を用いた方法と同値な方法確立
- 今後の課題として, 符号の同型による同値類を用いた更なる高速化を行う



---

# 情報通信研究室：活動報告

研究室代表者・准教授 松井 一

3rd スマート情報技術研究センター シンポジウム  
19th ジョイントCSセミナー

2023年10月12日(木)16:25-16:35

ご清聴ありがとうございました.